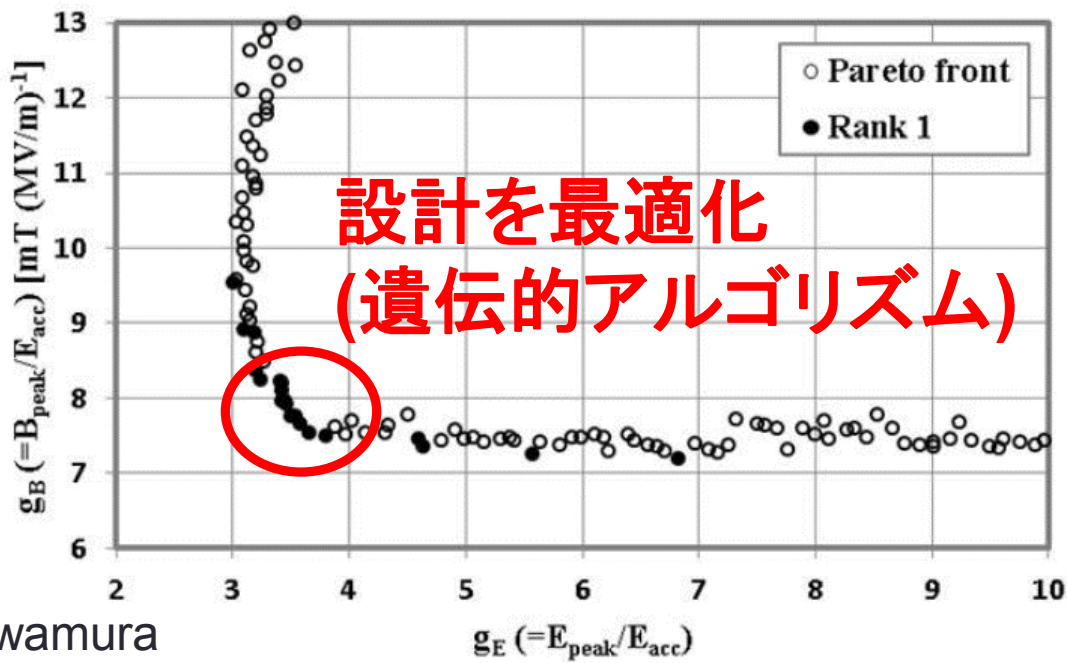
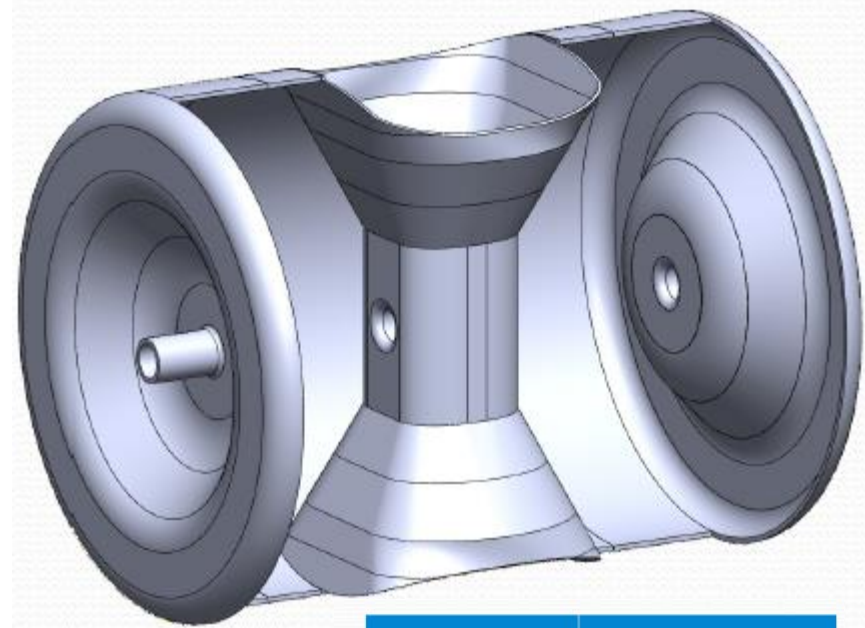
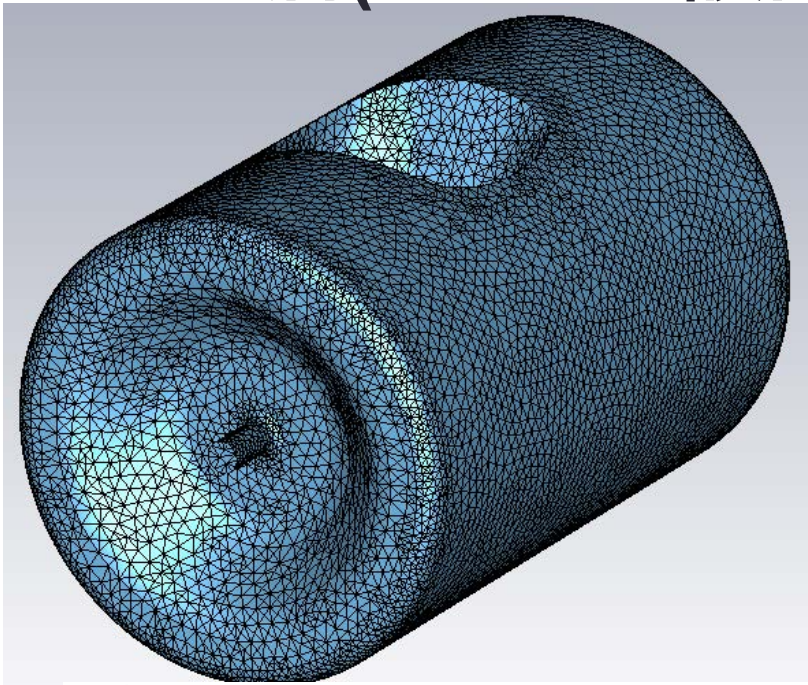


Spoke空洞multipactor解析⑦

久保毅幸¹, E. Cenni², 岩下芳久², 頓宮拓²

(1) KEK, (2) 京大

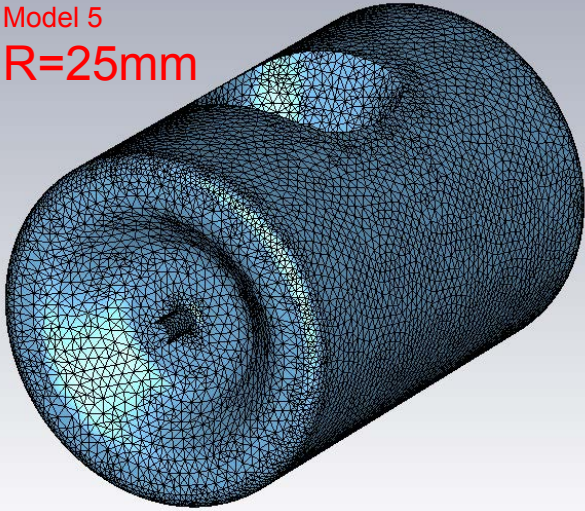
第9回全体会議@産総研 (2014年12月24日)



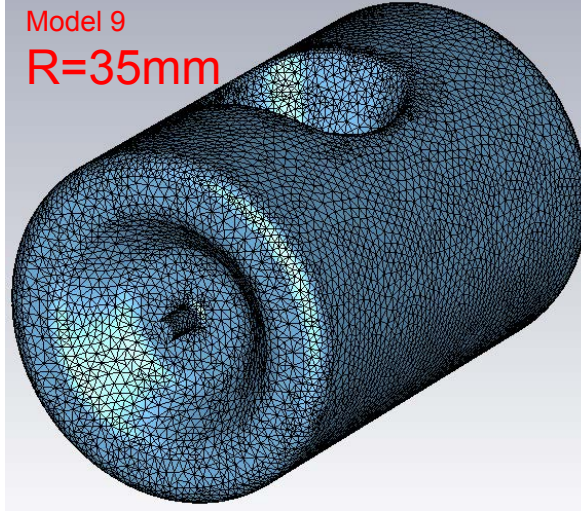
Frequency	325 MHz
No. of Spokes	1
Tank Diameter	609.5 mm
Cell Length	461.2 mm
Cavity Length	922.4mm
E_{peak}/E_{acc}	3.7
H_{peak}/E_{acc}	6.0 (kA/m)/(MV/m)
R/Q	461Ω
TTF	0.81

M. Sawamura, R. Hajima, R. Nagai, T. Kubo, H. Fujisawa, and Y. Iwashita, in *Proceedings of IPAC2014, Daresden, Germany* (2014), p. 1946; M. Sawamura, R. Nagai, N. Nishimori, and R. Hajima, in *Proceedings of PASJ10, Nagoya, Japan* (2013), p. 956; M. Sawamura, R. Hajima, R. Nagai, and N. Nishimori, in *Proceedings of SRF2011, Chicago, IL USA* (2011), p. 165; M. Sawamura, R. Nagai, N. Nishimori, and R. Hajima, in *Proceedings of PASJ8, Tsukuba, Japan* (2011), p. 1332.

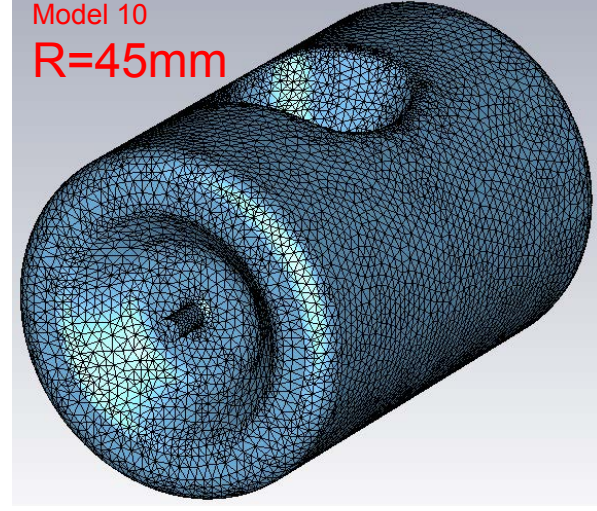
Model 5
R=25mm



Model 9
R=35mm

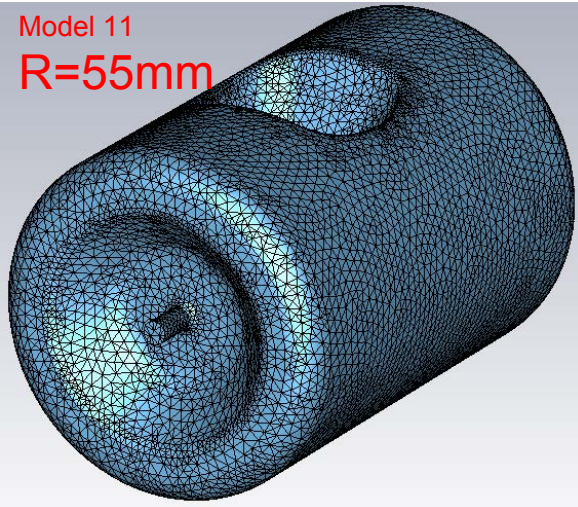


Model 10
R=45mm

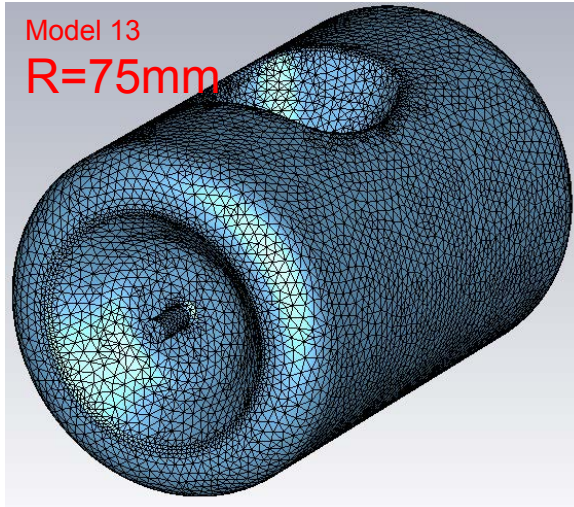


設計の詳細(角の丸み等)については、まだ自由度がある。
→ multipactorを低減する設計を追及する

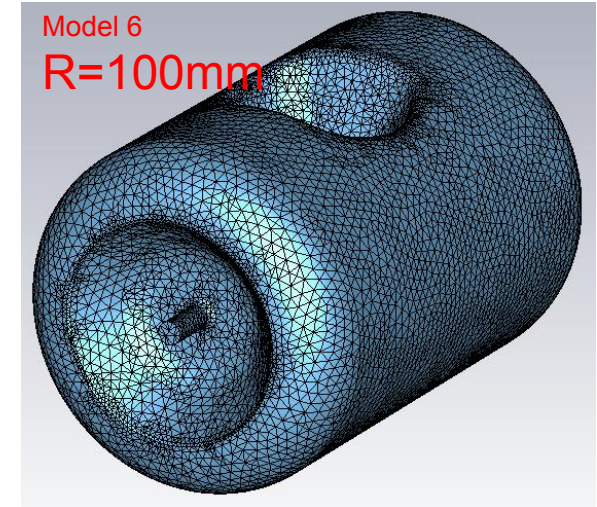
Model 11
R=55mm

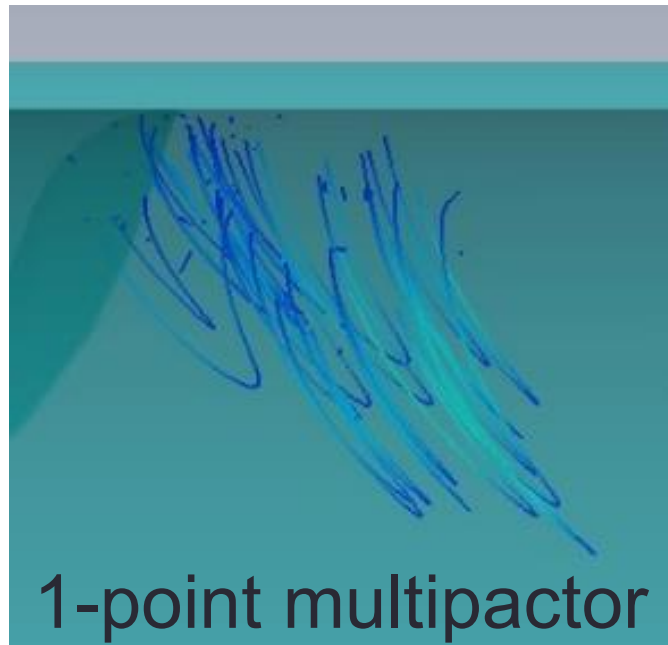


Model 13
R=75mm



Model 6
R=100mm





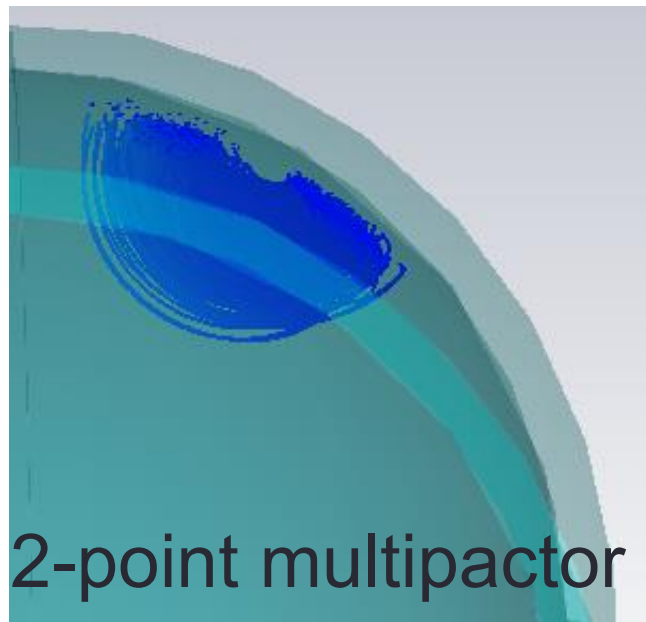
がMPである。特に、電子と壁面の衝突周期が T_{RF} の整数倍

$$T_1 = nT_{\text{RF}}, \quad (1)$$

で与えられるとき、これを one-point MP と呼ぶ。この場合、壁面から放出された電子は再び放出点近傍の点に衝突する。 $n = 1, 2, 3, \dots$ をMPの次数と呼ぶ。一方、衝突周期がRF半周期の奇数倍

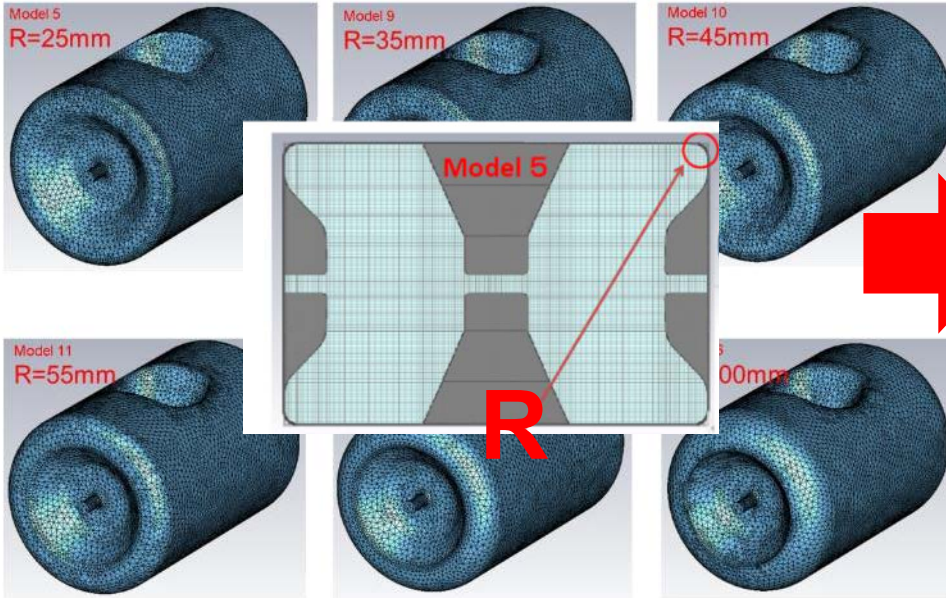
$$T_2 = \left(n - \frac{1}{2}\right)T_{\text{RF}}, \quad (2)$$

で与えられるとき、これを two-point MP と呼ぶ。この場合、電子は壁面の2つの異なる点を交互に叩く。MPが発生すると、空洞内のエネルギーは無数の二次電子によって浪費されてしまい、空洞にパワーを投入する際、加速電場が運転に必要なレベルに到達しないこともある。超伝導空洞では、これによる昇温でクエンチに至る可能性があり、十分な注意が必要である。

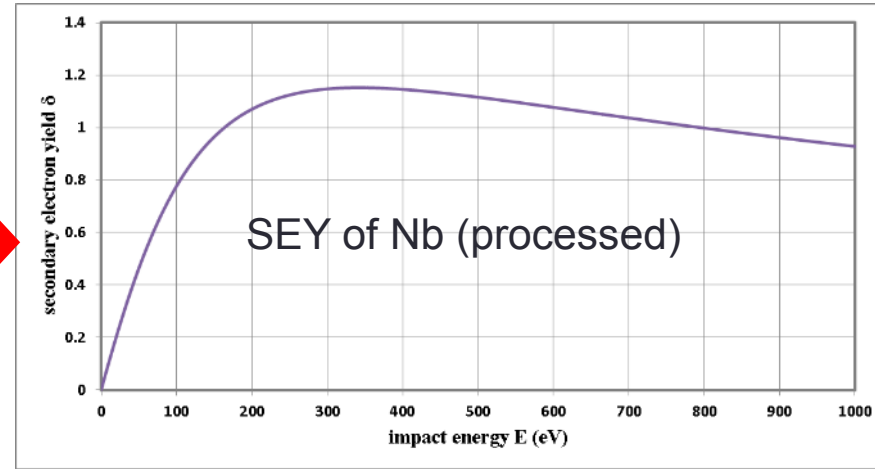


手順

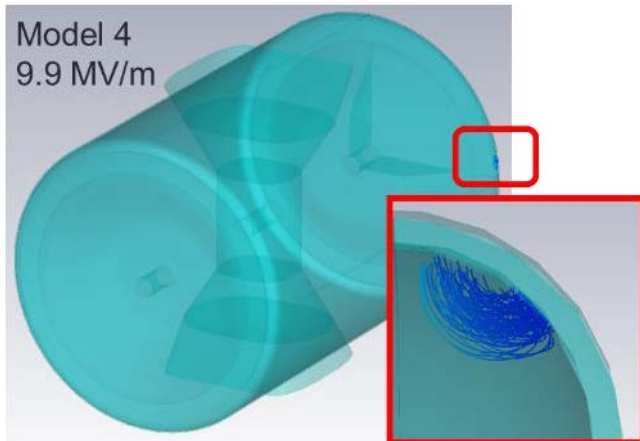
Make several models with equivalent performances



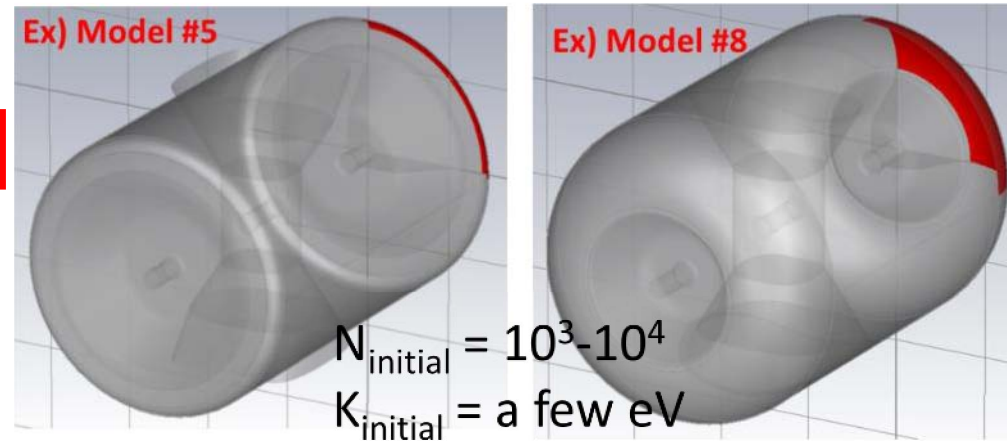
Set secondary emission yield (SEY) of the cavity wall



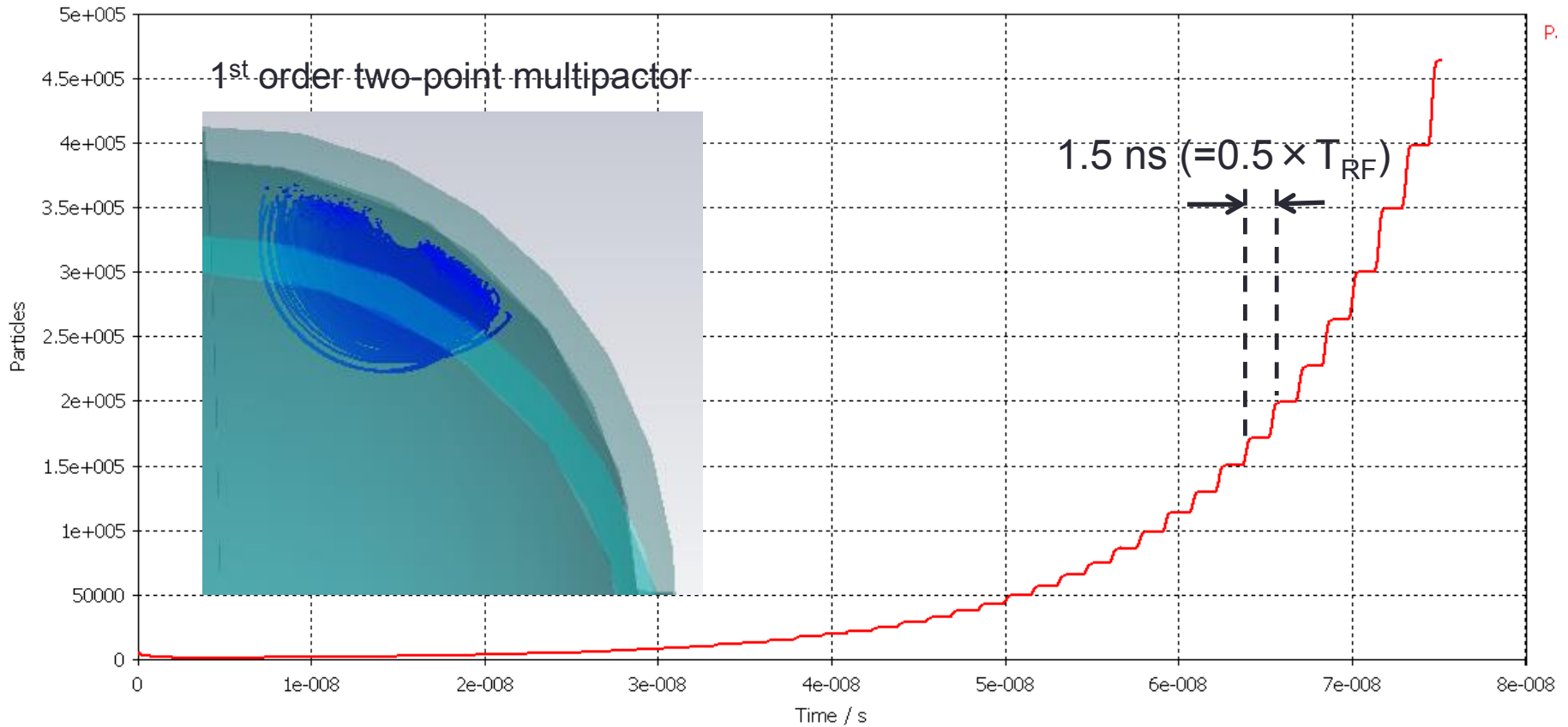
Simulate multipactor



Set Initial electrons (with symmetry in mind)



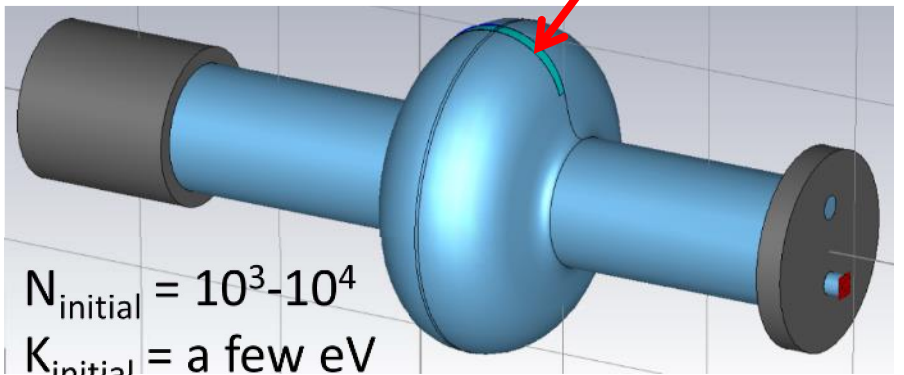
Multipactor signals: Trajectories, exponential growth of particle number, averaged SEY larger than 1
 Type of multipactor: period of particle number growth



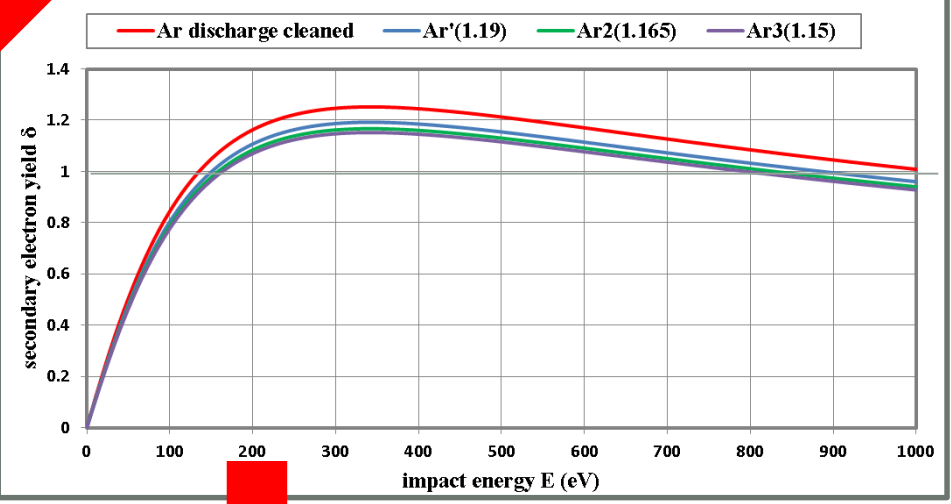
平均SEY

$$\langle \delta \rangle = \frac{\text{放出電子の総数}}{\text{電子が壁を叩いた回数}} > 1$$

In view of the symmetry, put initial particles on the surface.



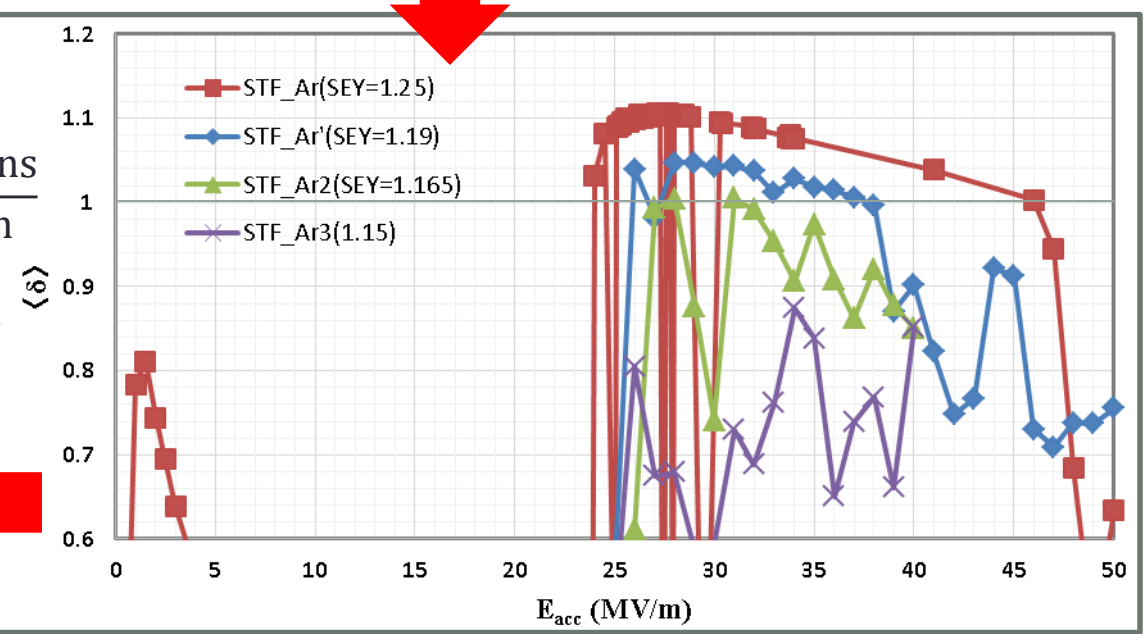
Model: Furman model
Material choice: four types of Nb

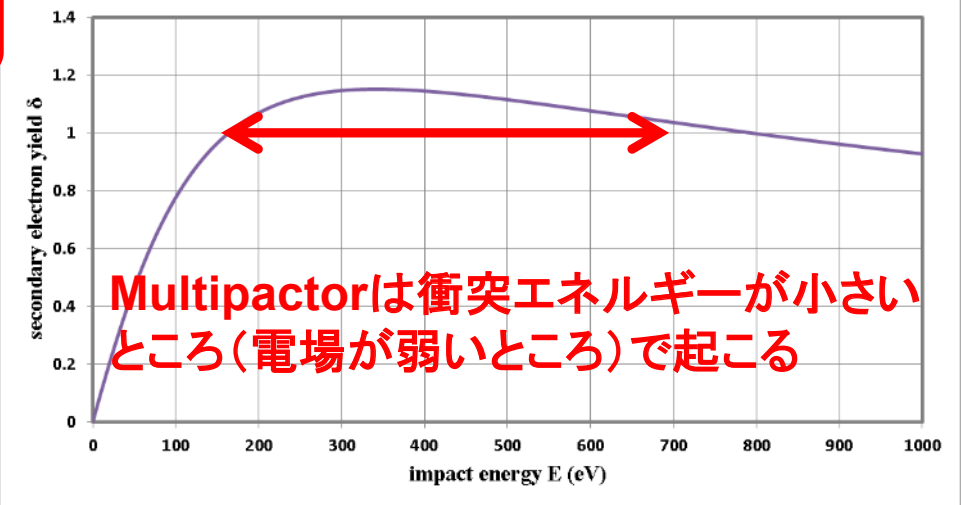
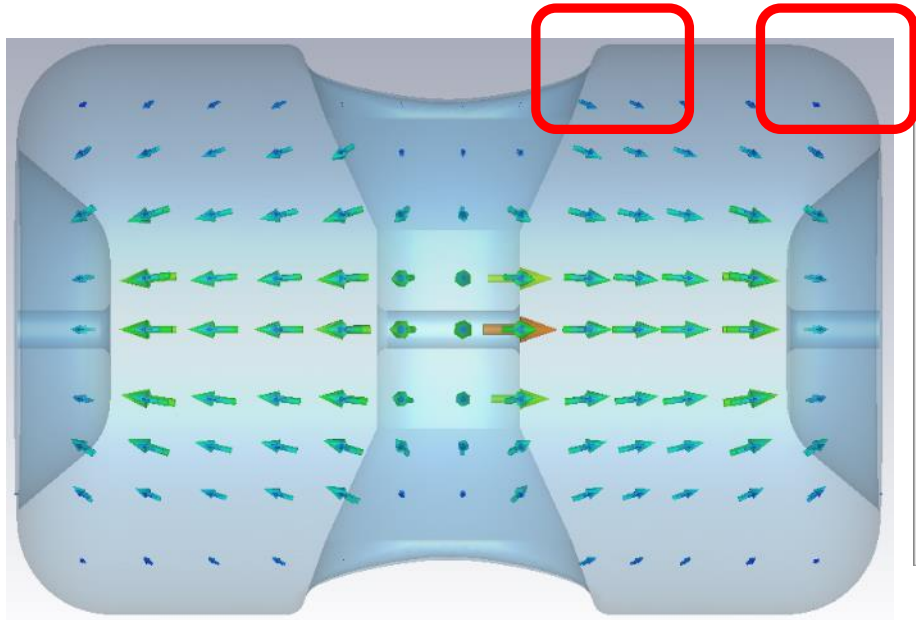


$$\langle \delta \rangle = \frac{\text{total number of secondary electrons}}{\text{number of electron-wall collision}}$$

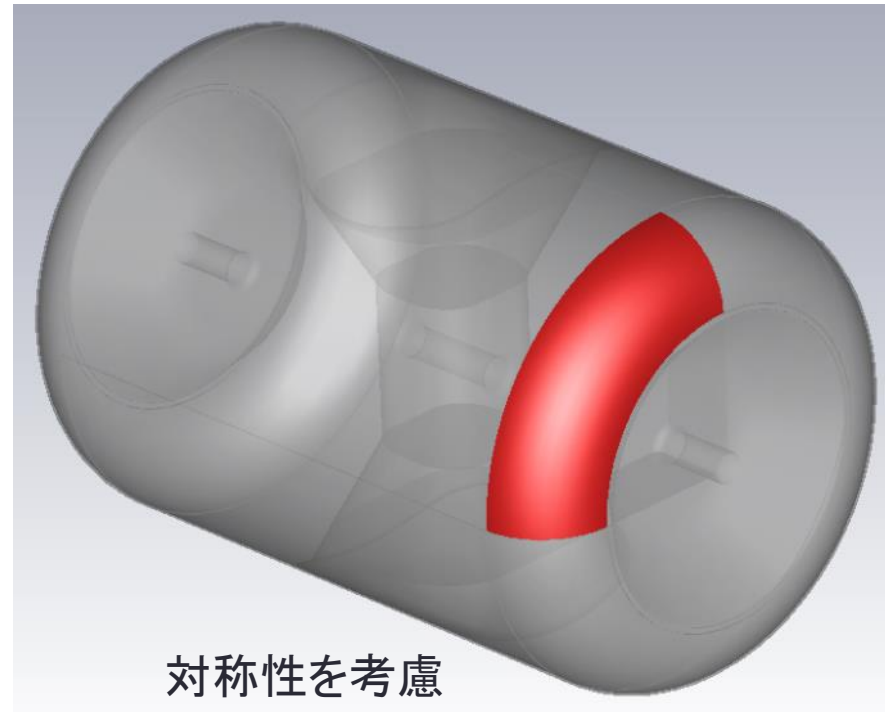
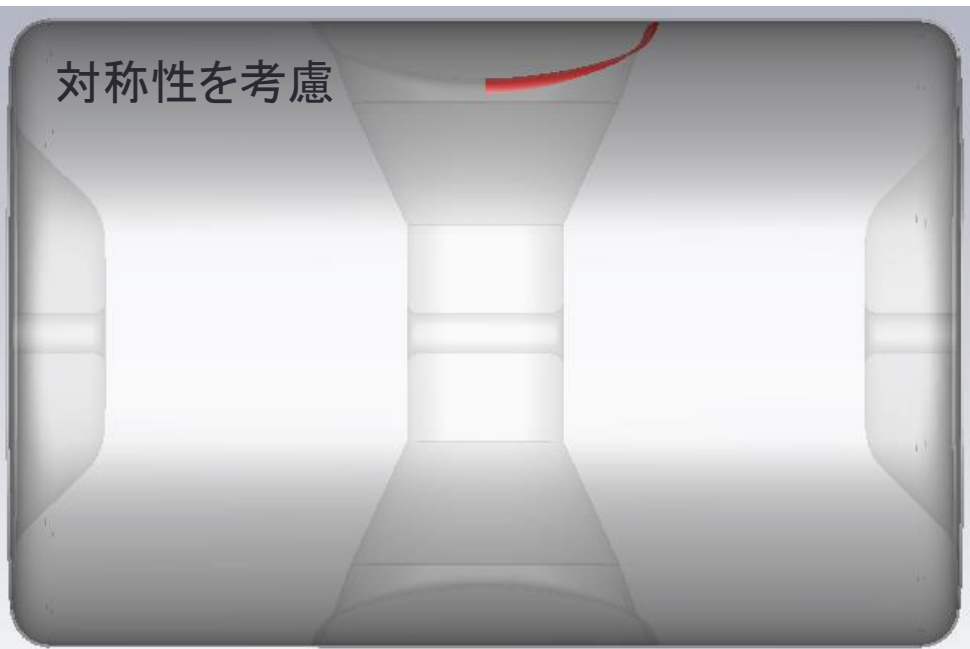
$\langle \delta \rangle > 1$ means multipactor occurs

Regard the purple curve as the processed Nb surface





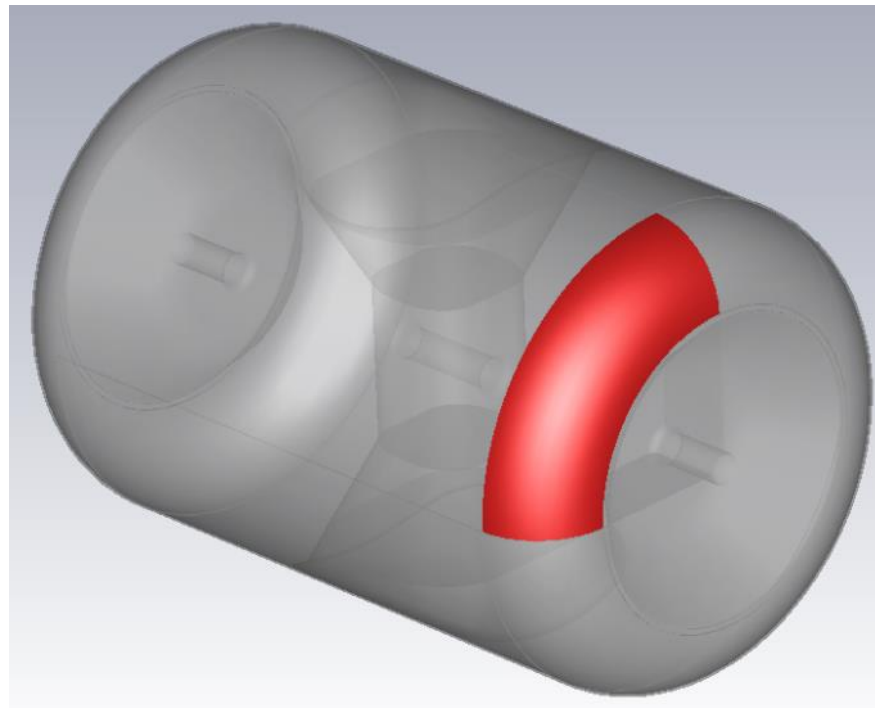
Multipactorは衝突エネルギーが小さいところ(電場が弱いところ)で起こる

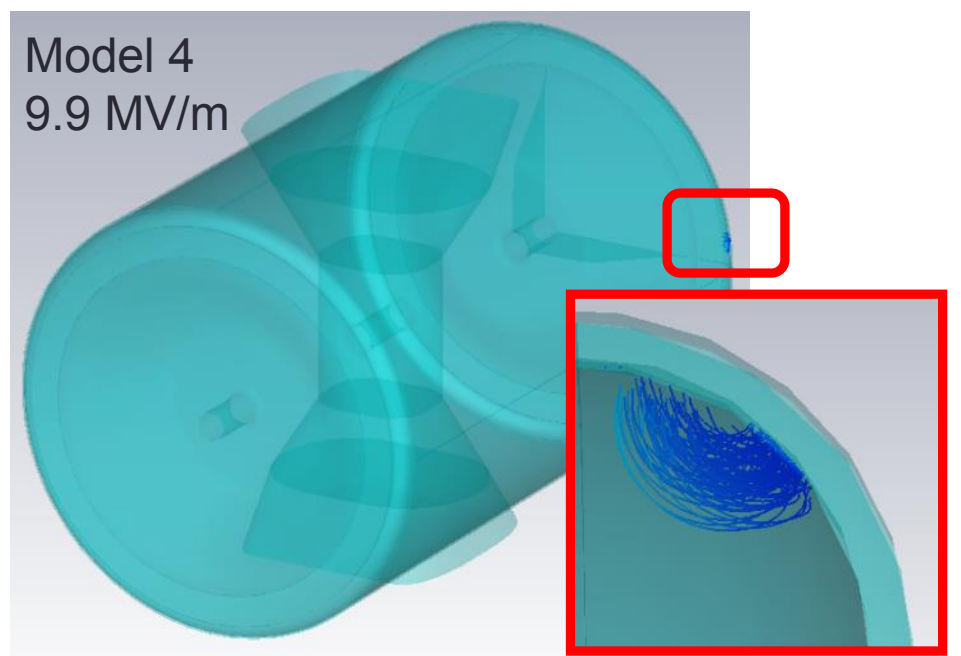
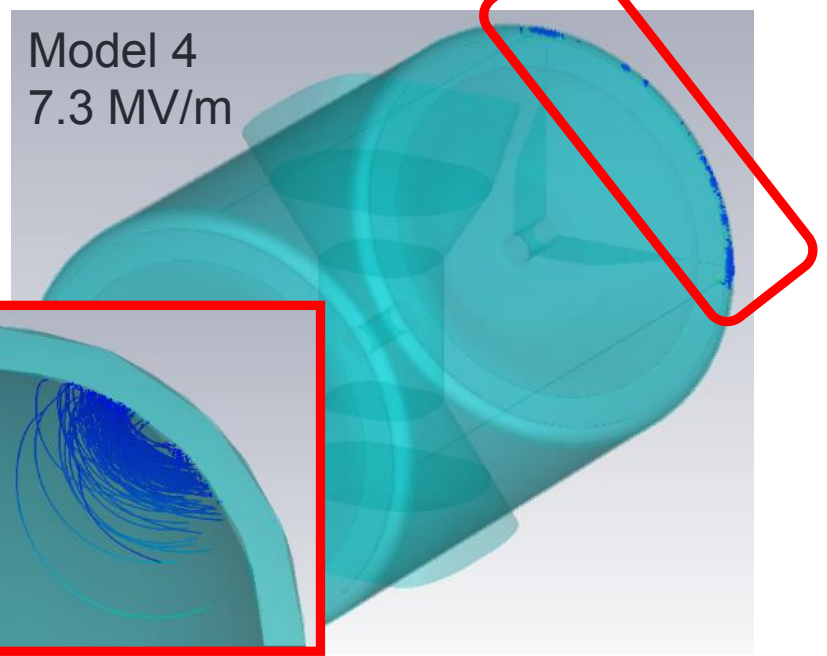
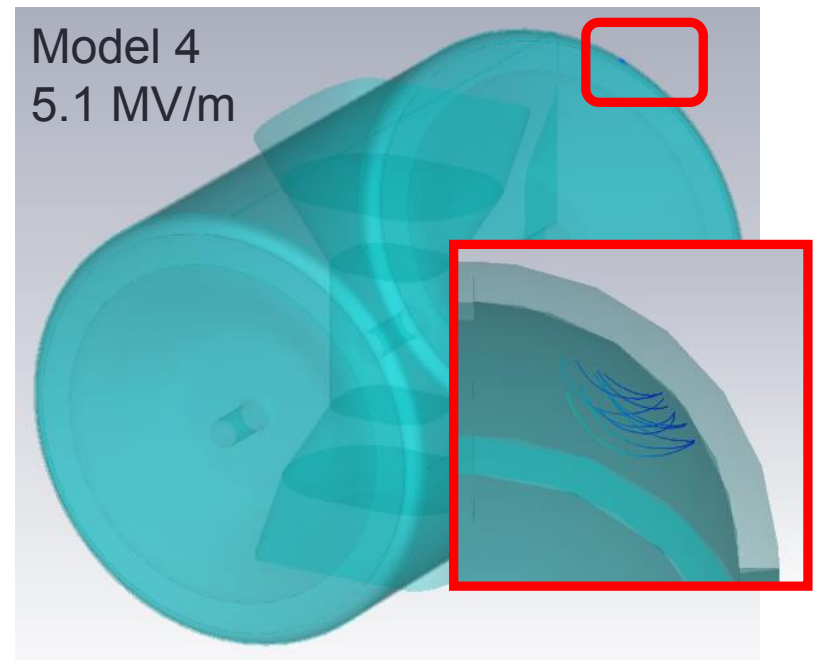
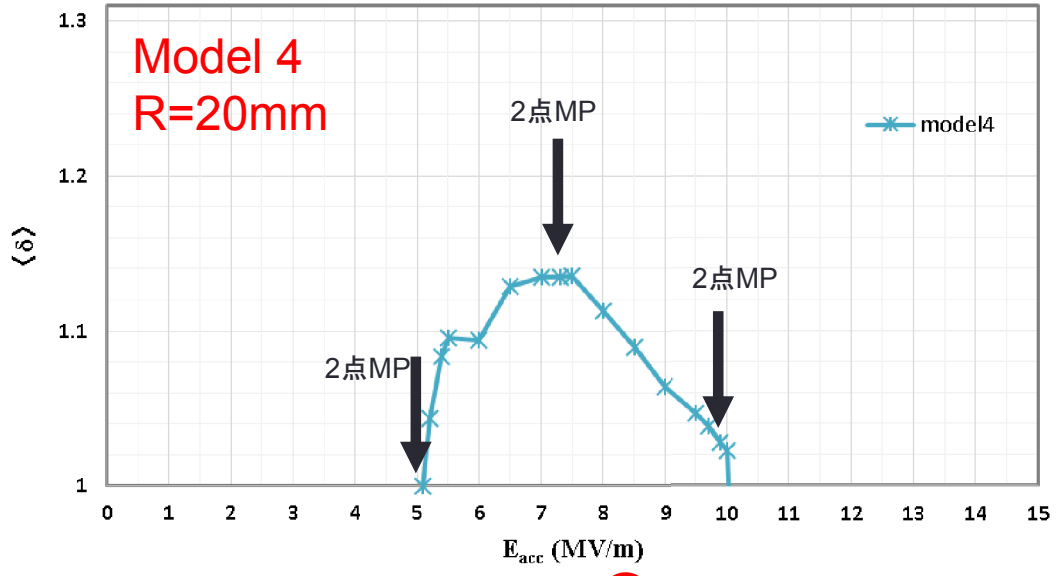


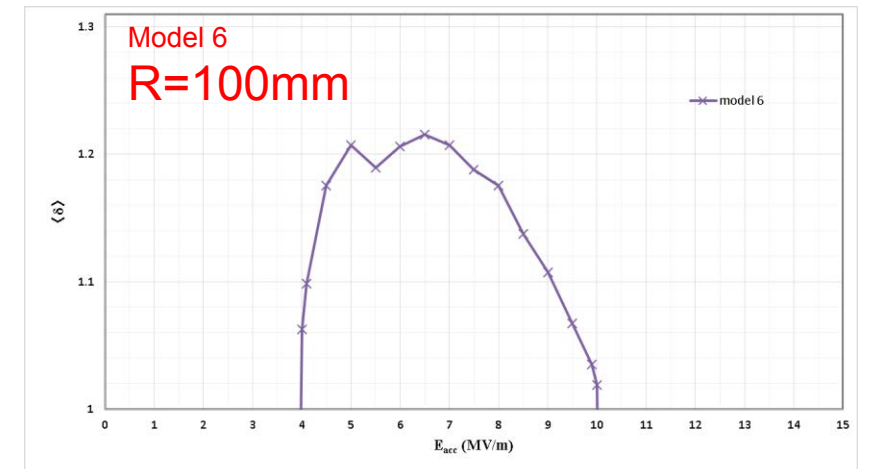
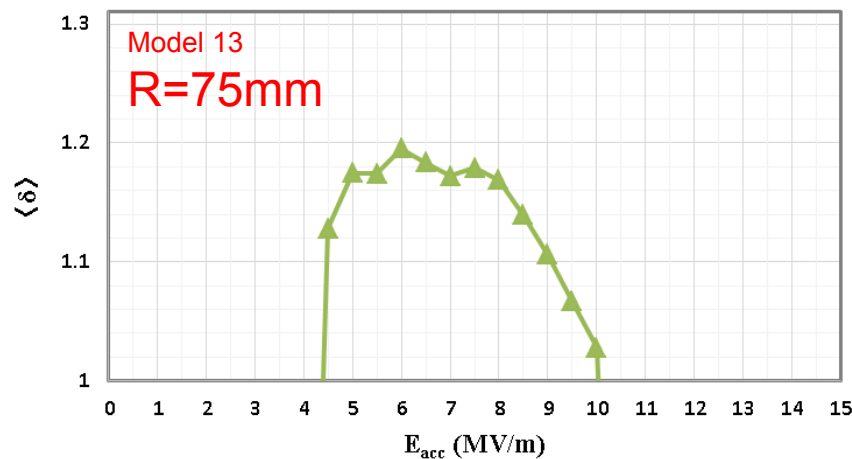
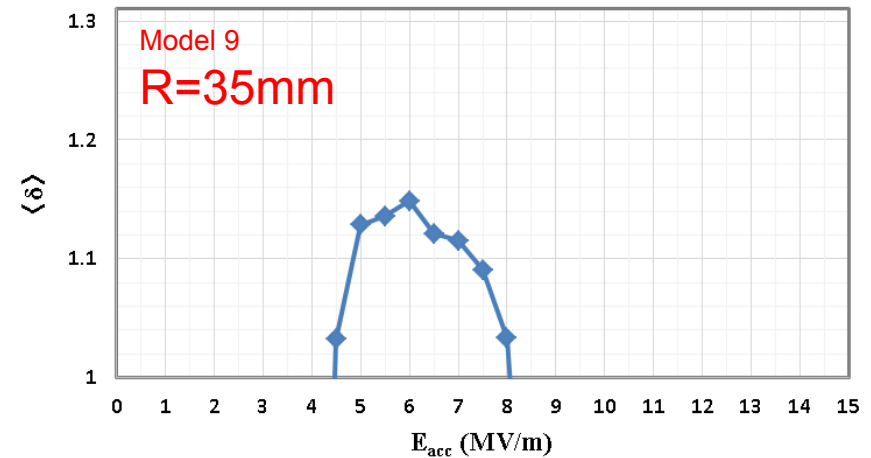
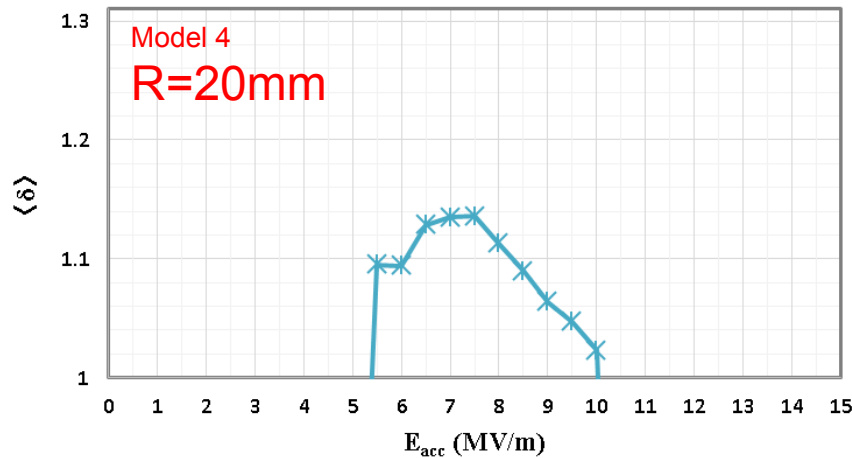
対称性を考慮

結果

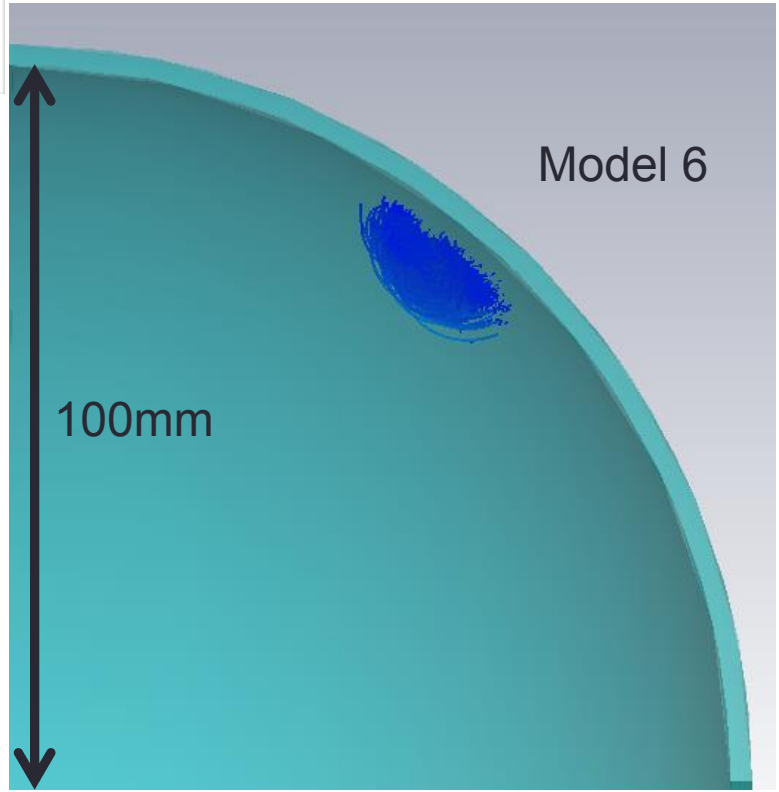
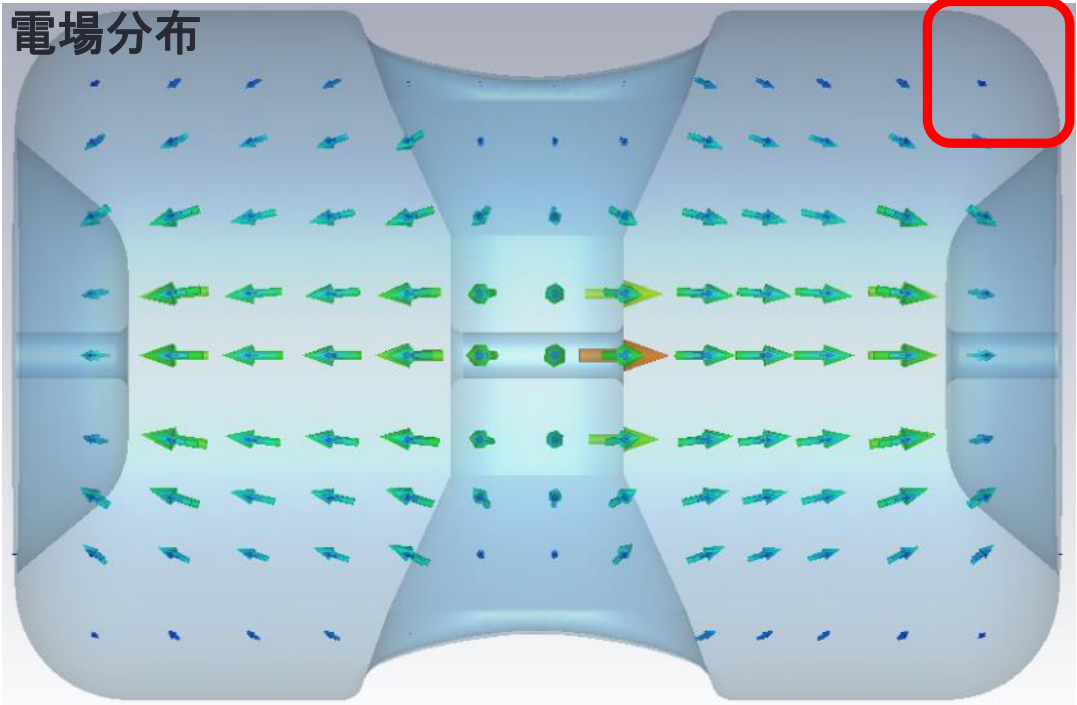
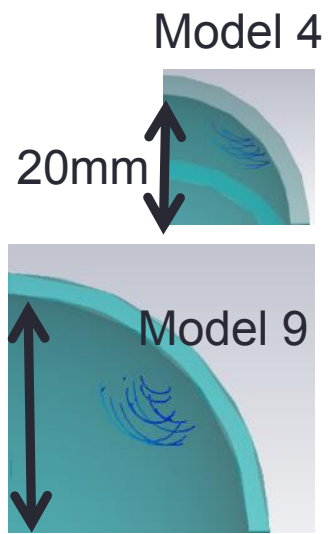
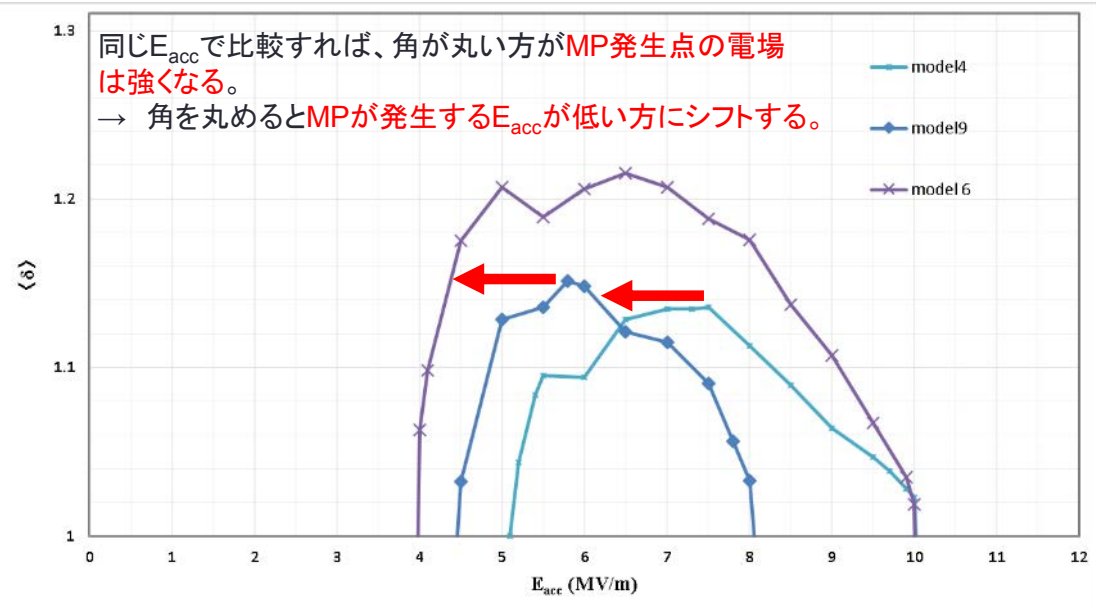
(MP@end cap)

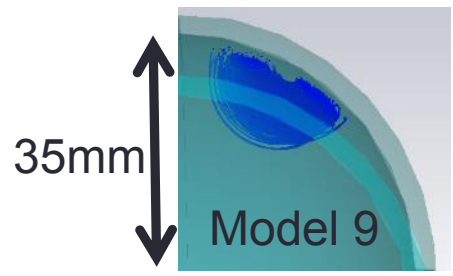
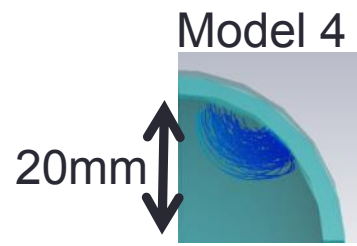
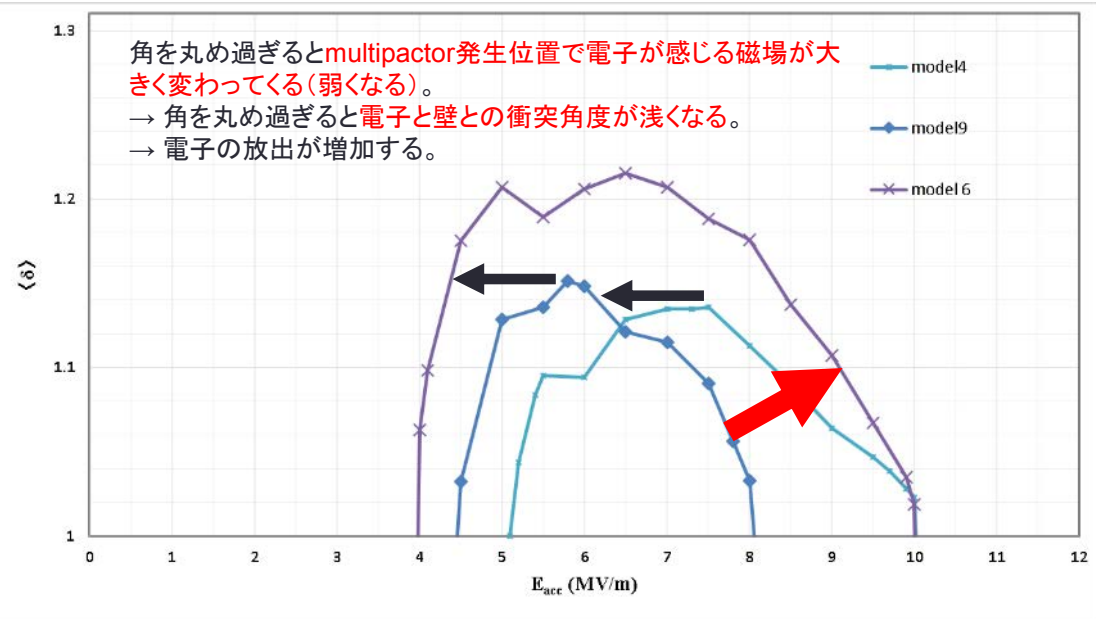




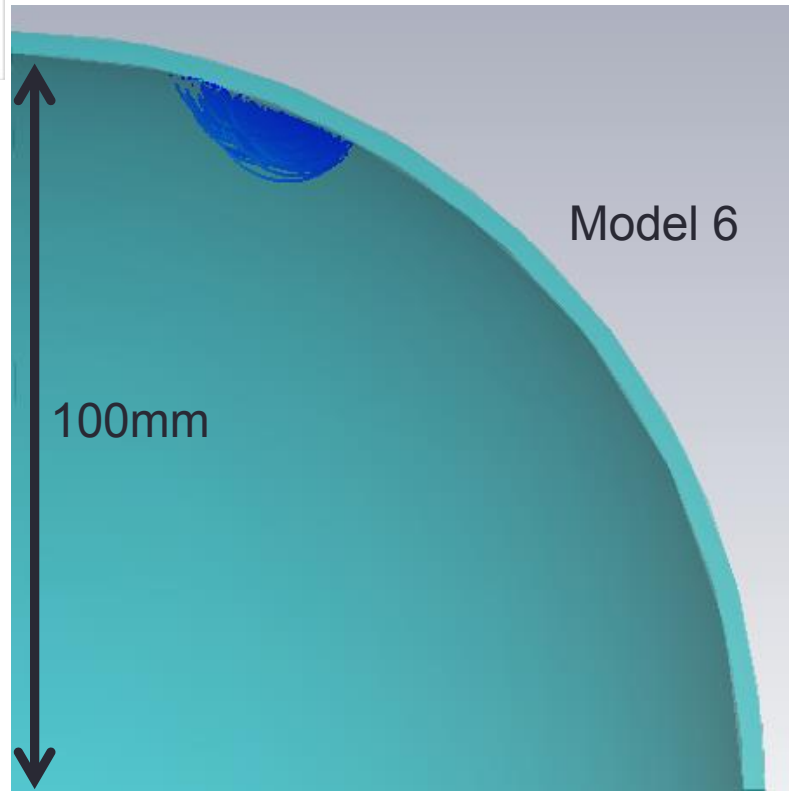
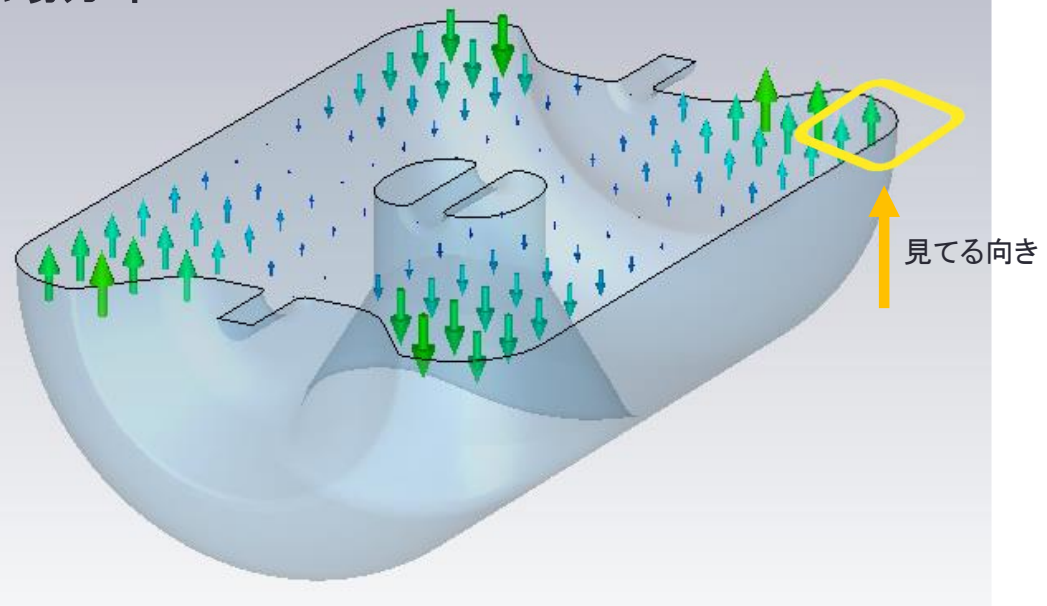


$$\langle \delta \rangle = \frac{\text{total number of secondary electrons}}{\text{number of electron-wall collision}} > 1$$

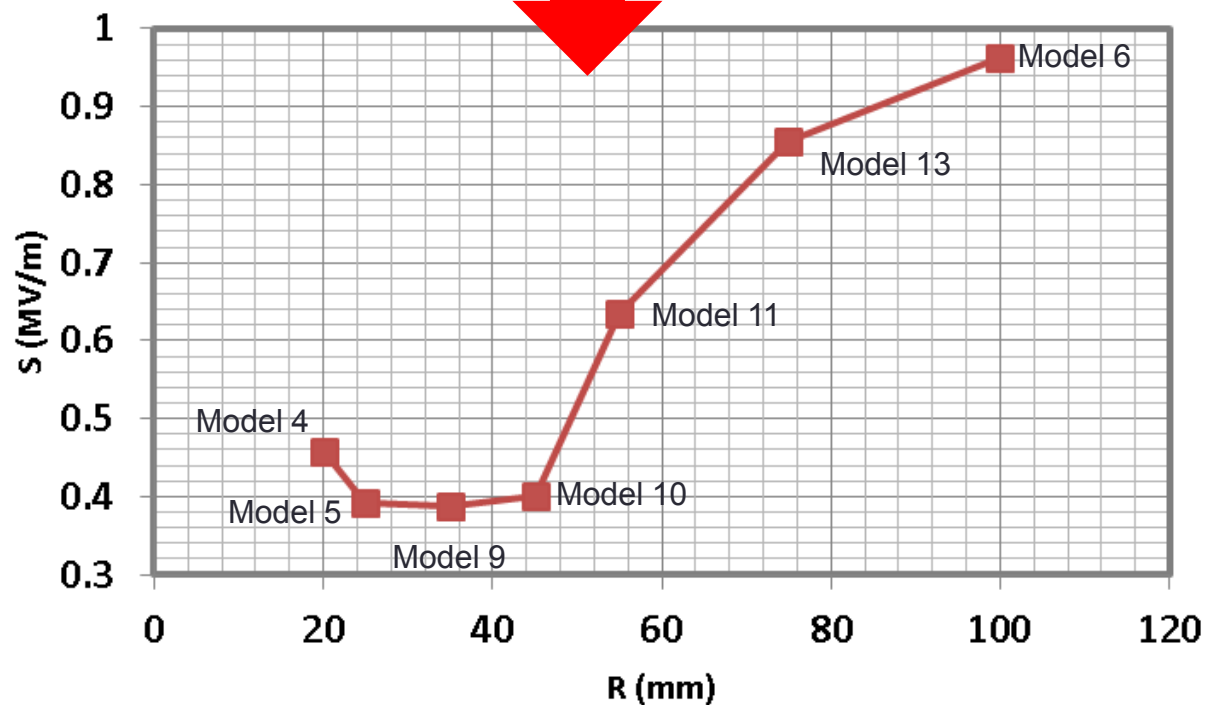
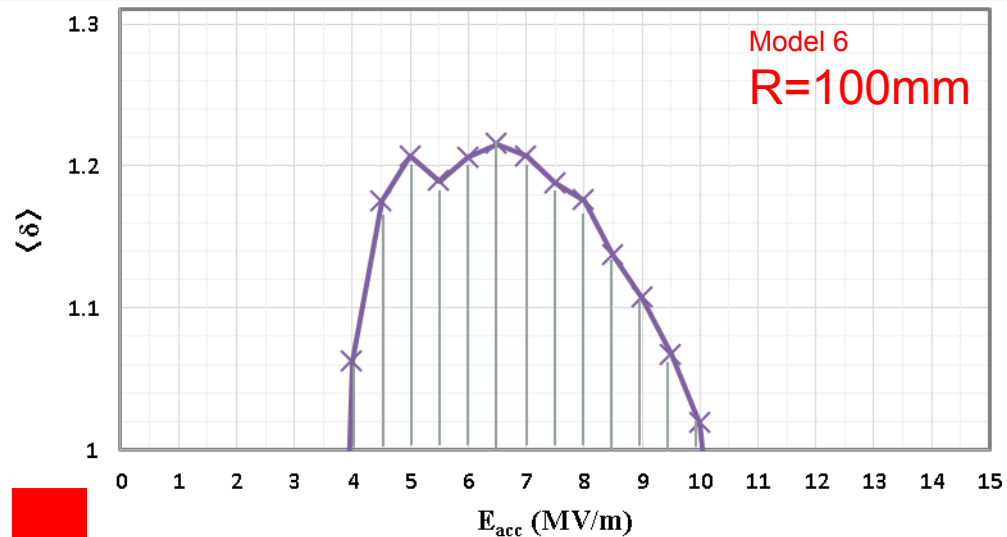




磁場分布

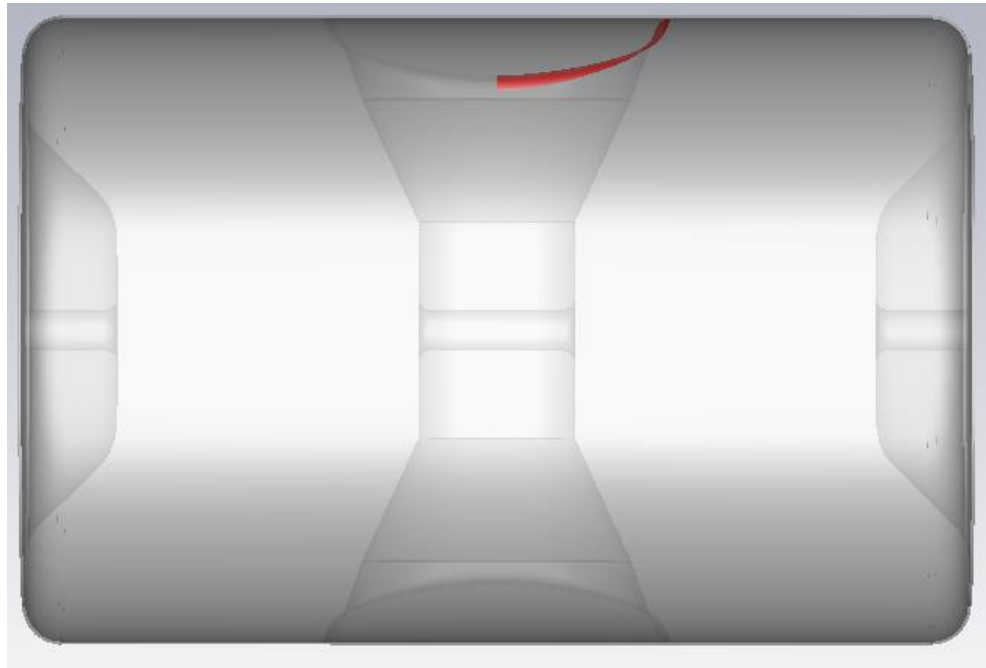


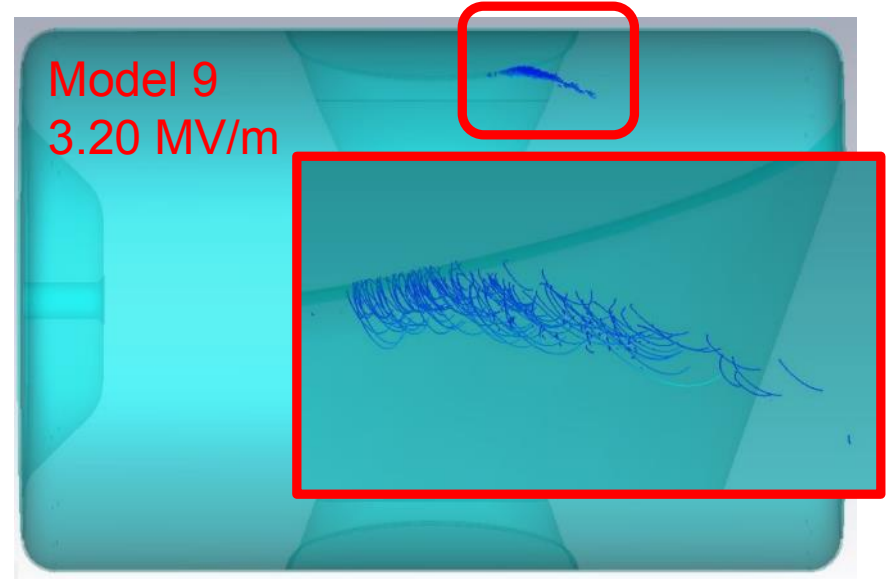
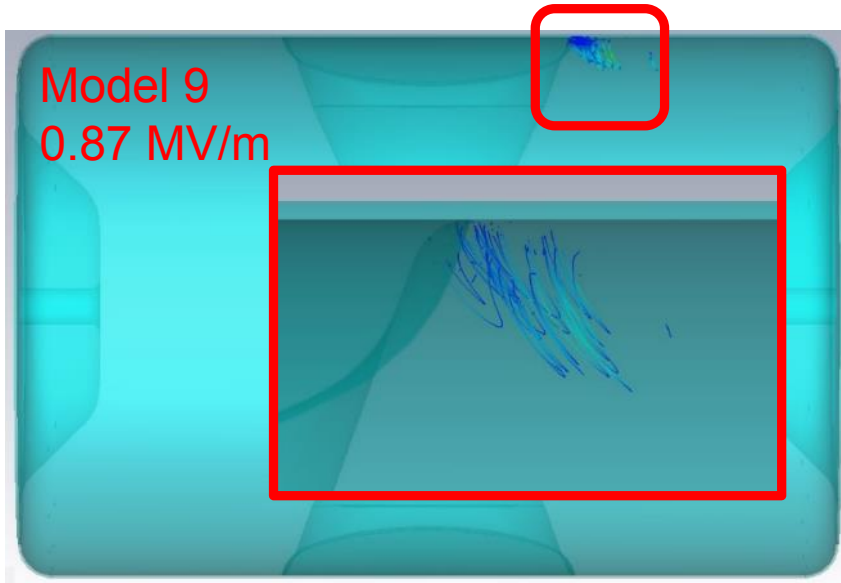
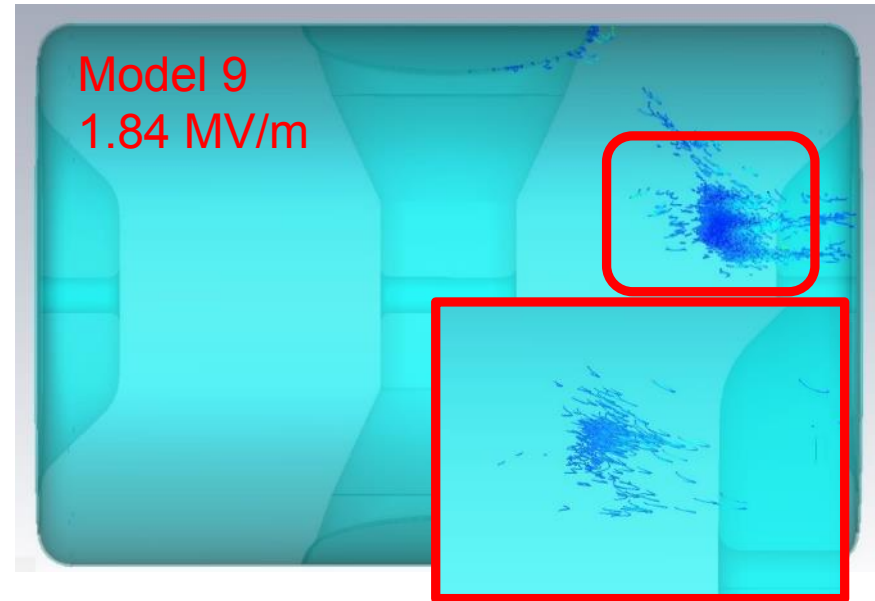
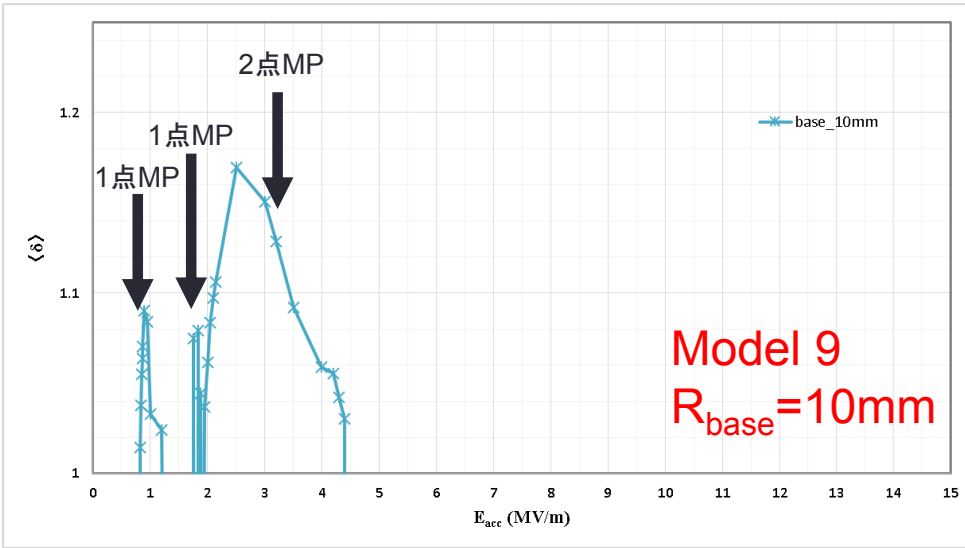
For a comparison of models,
calculate area below $\langle \delta \rangle$ - E_{acc} curve
(summation of trapezoids).

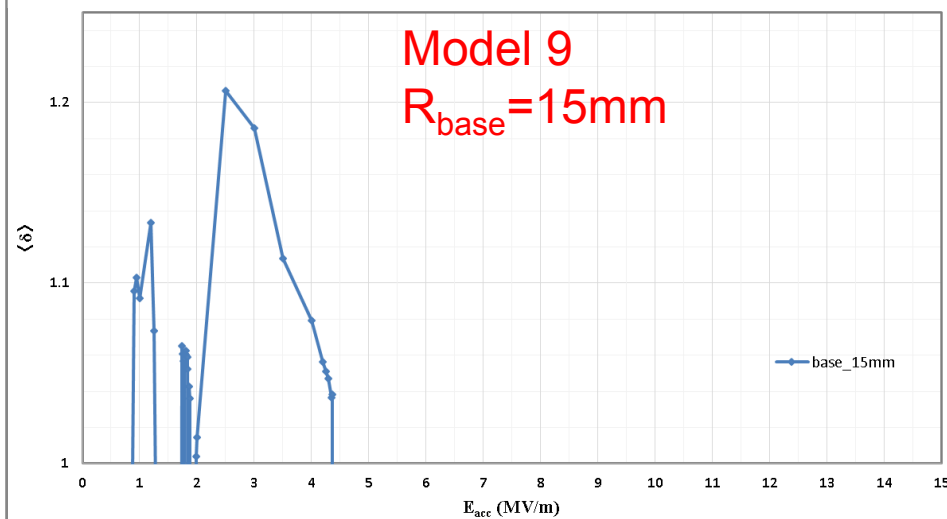
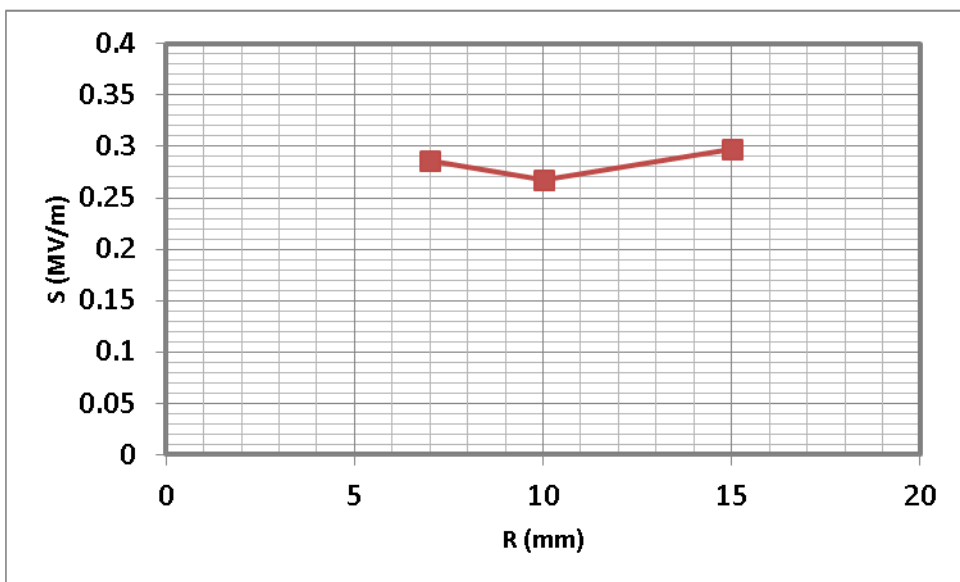
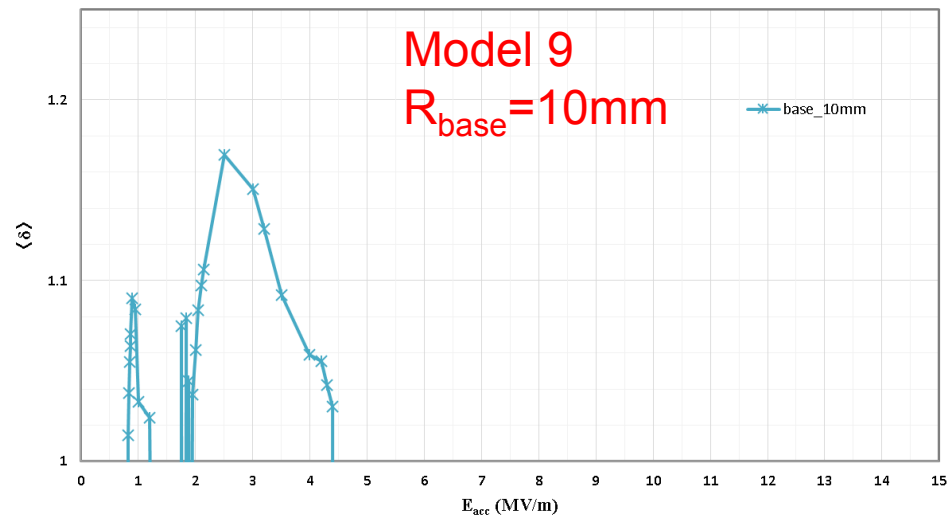
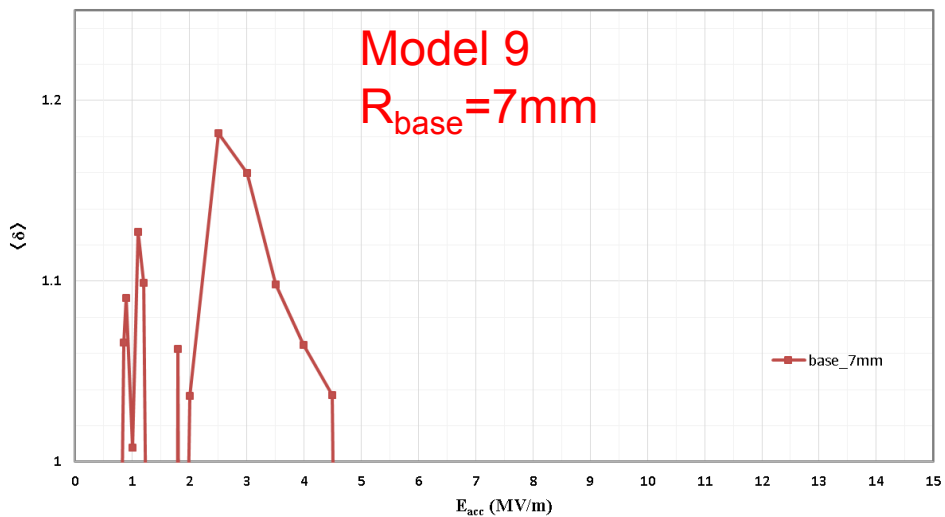


結果

(MP@spoke base)

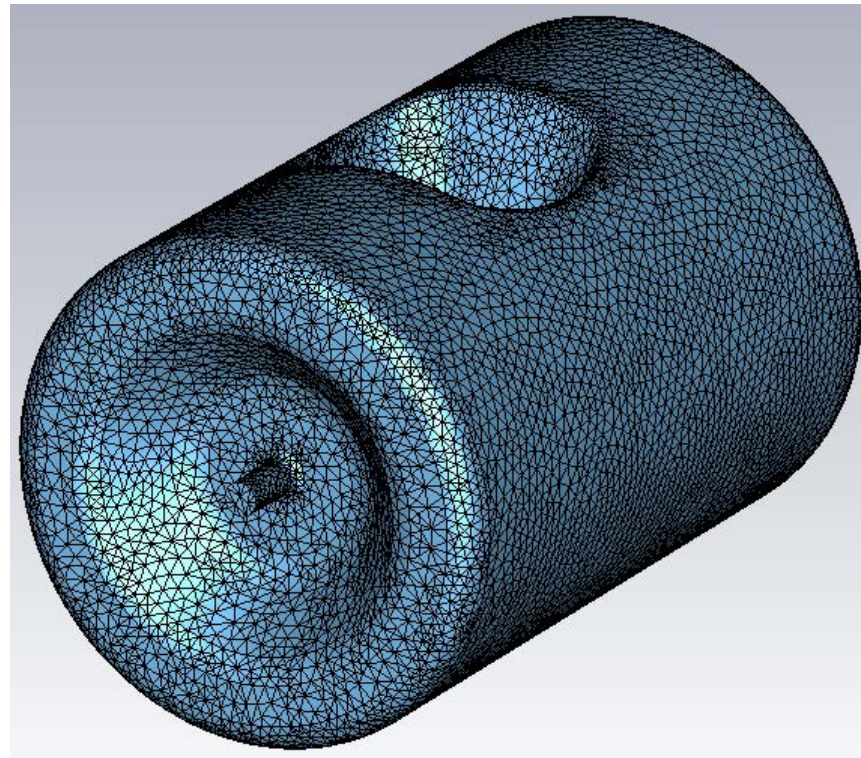






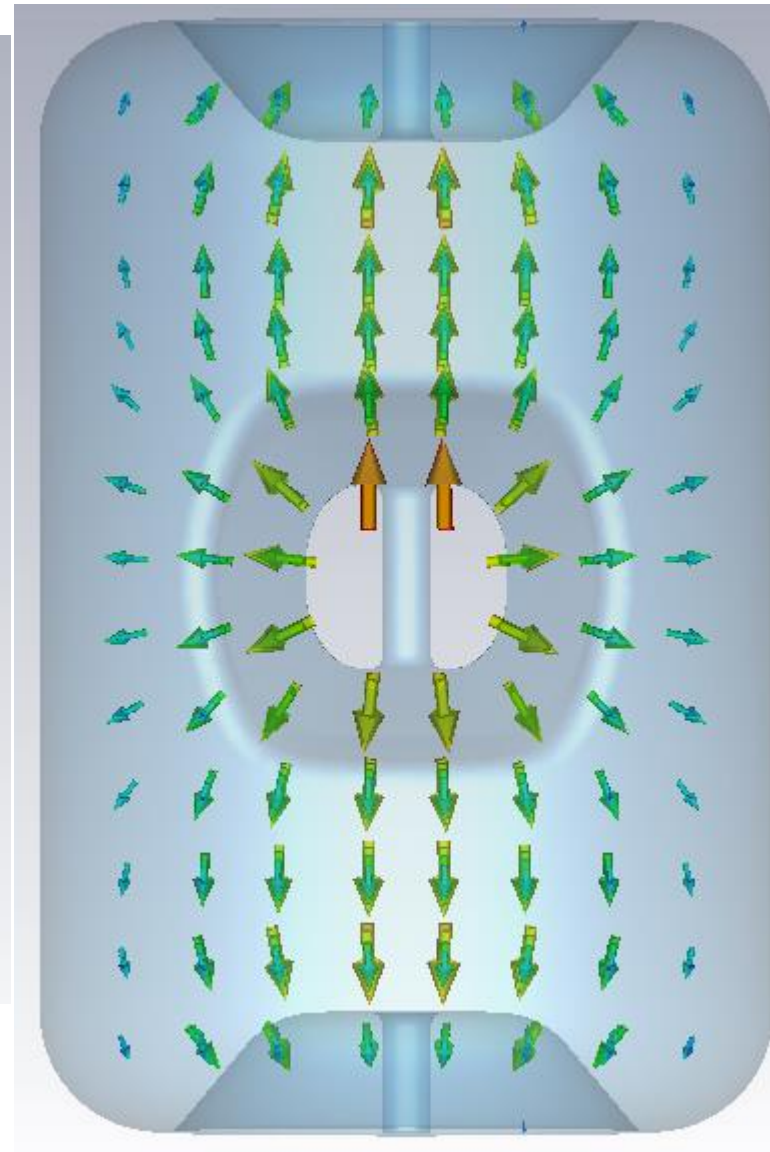
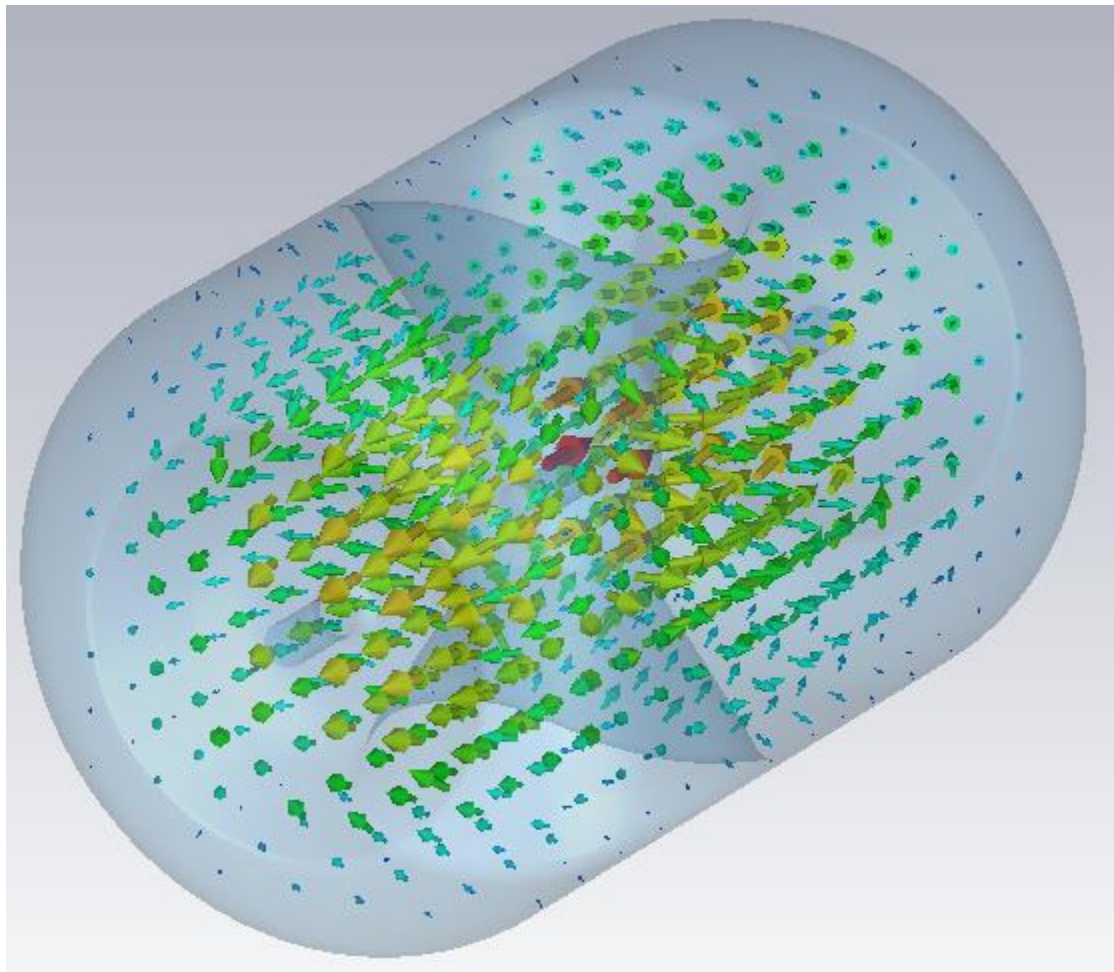
Summary

- End capの角の丸み R が異なる複数のモデルについて、multipactorの振舞いを比較した。
- 角を丸くし過ぎるとよくない。 $R=35\text{mm}$ (model 9)程度が良さそう。
- Spoke baseの付け根の丸み R_{base} を変えた計算も行った。

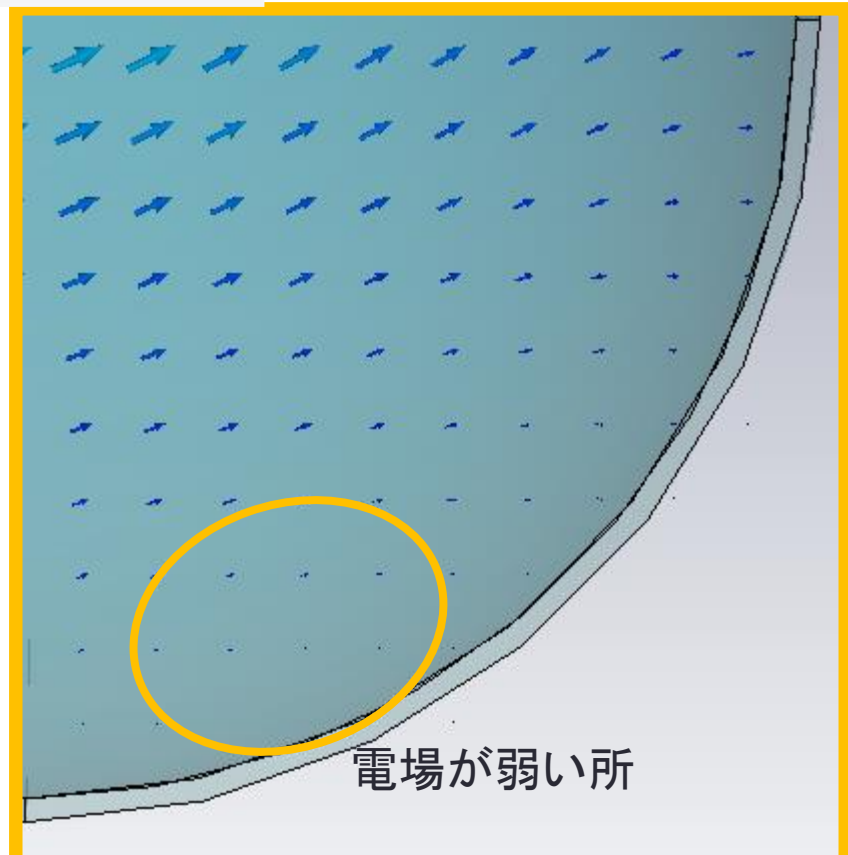
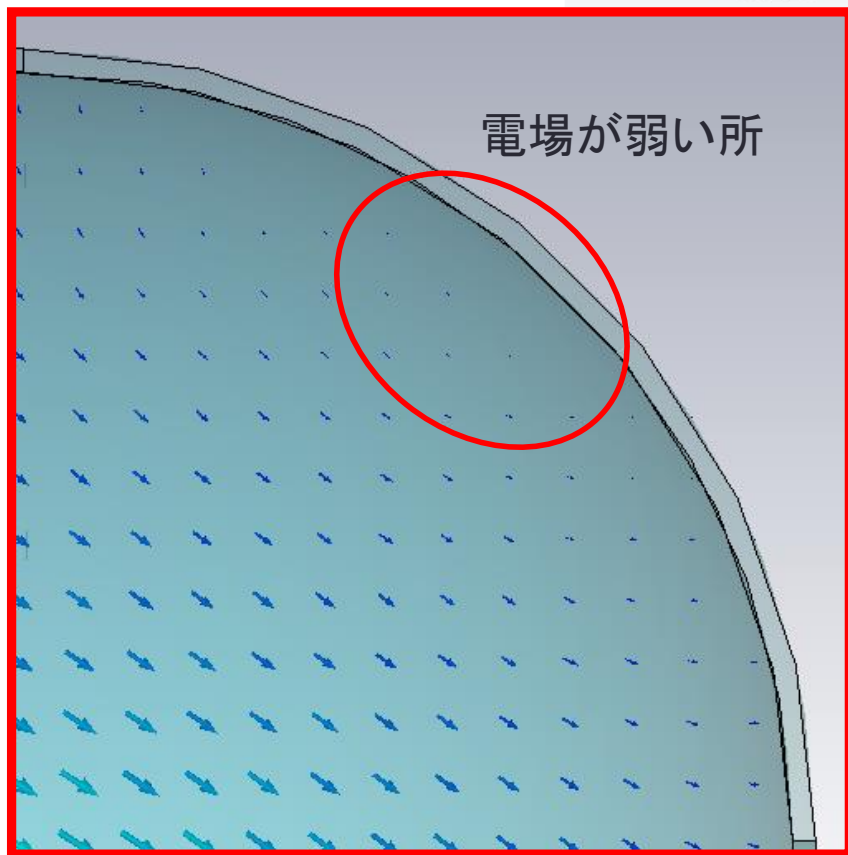
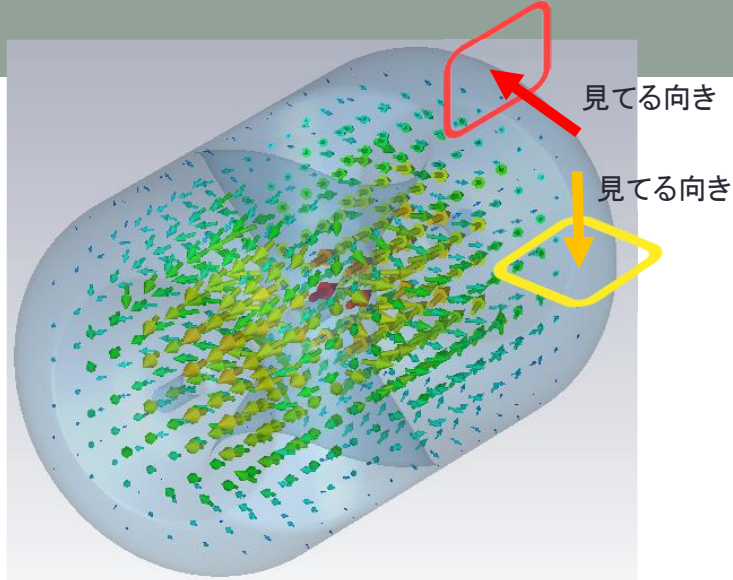


backup

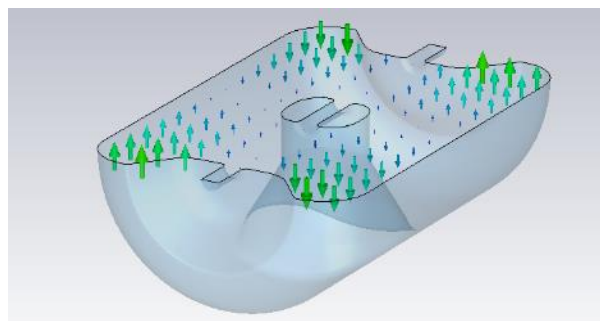
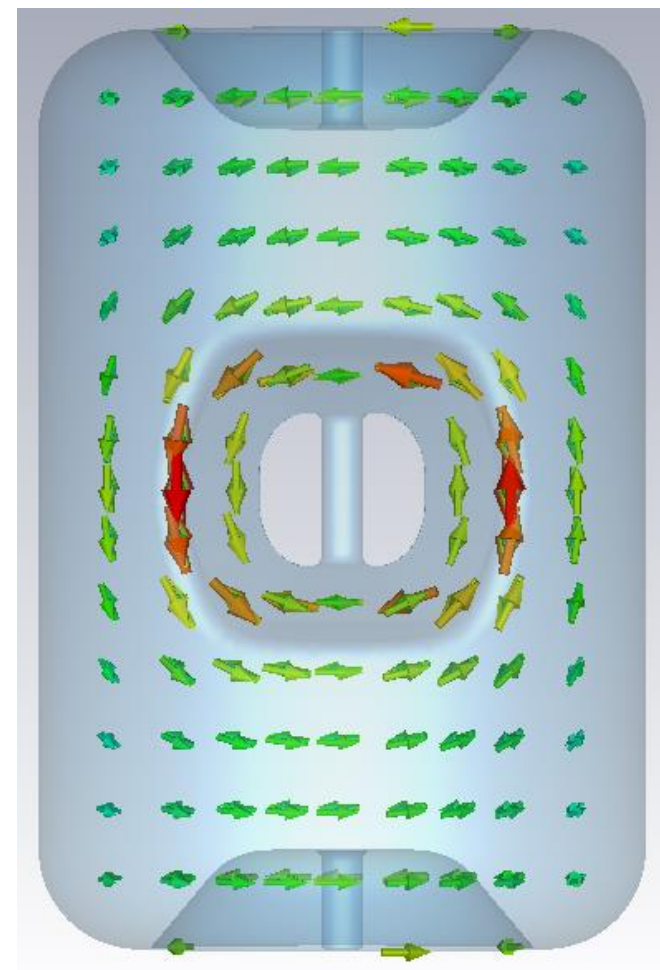
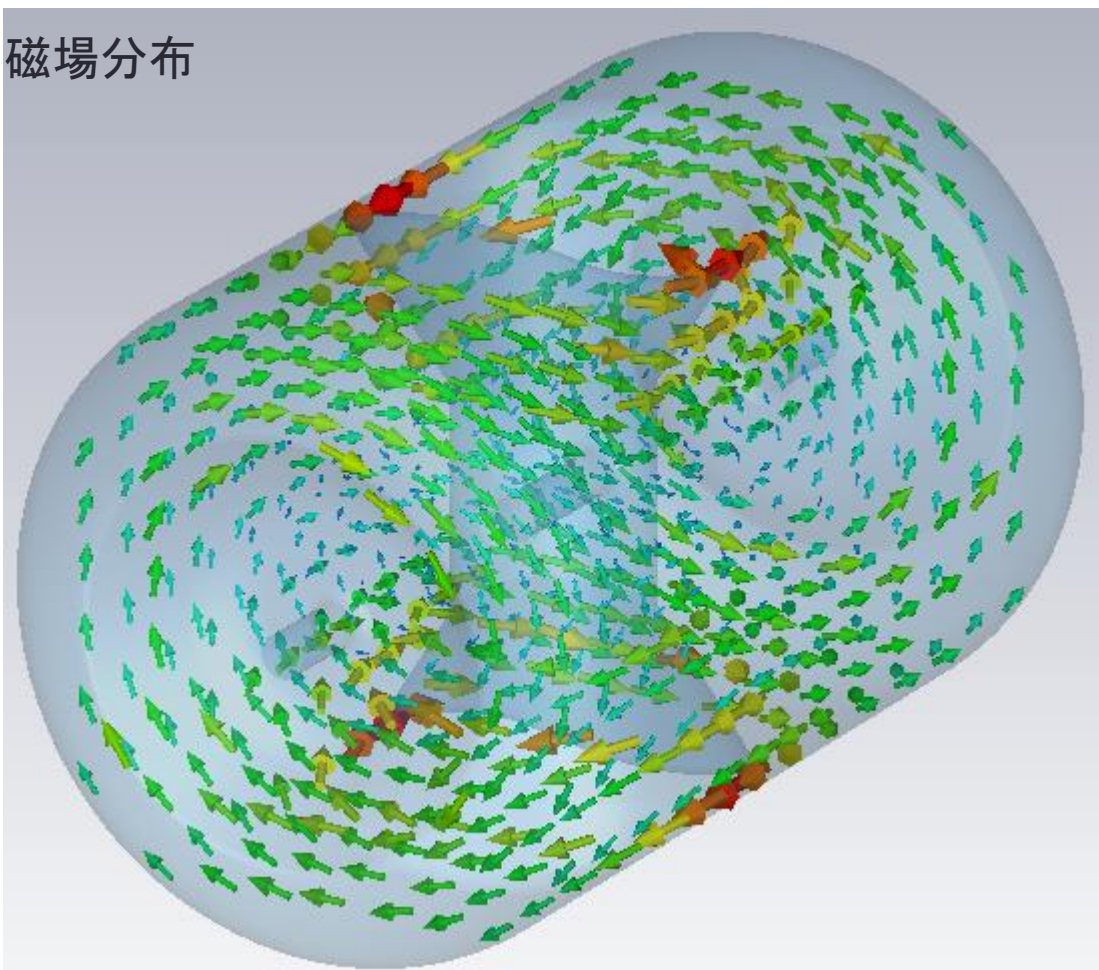
電場分布



電場分布



磁場分布



Furman model

True secondary electron emission yield

$$\delta_{ts}(E_0, \theta_0) = \hat{\delta}(\theta_0) D(E_0/\hat{E}(\theta_0)), \quad D(x) = \frac{sx}{s-1+x^s}$$

$$\hat{\delta}(\theta_0) = \hat{\delta}_{ts} [1 + t_1(1 - \cos^2 \theta_0)]$$

$$\hat{E}(\theta_0) = \hat{E}_{ts} [1 + t_3(1 - \cos^4 \theta_0)]$$

